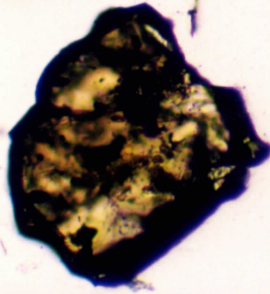
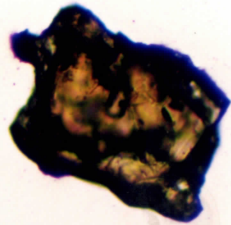
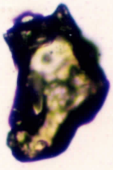
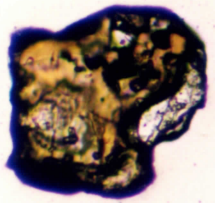
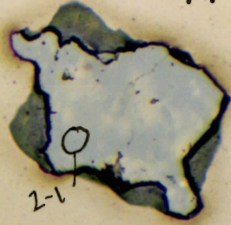
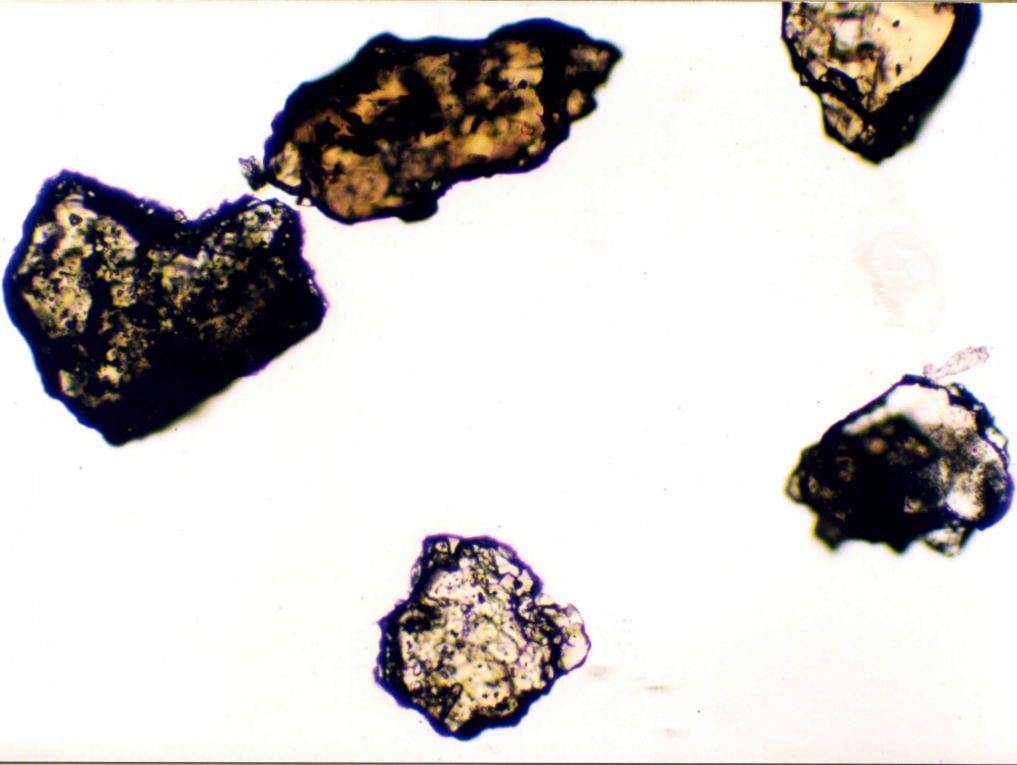
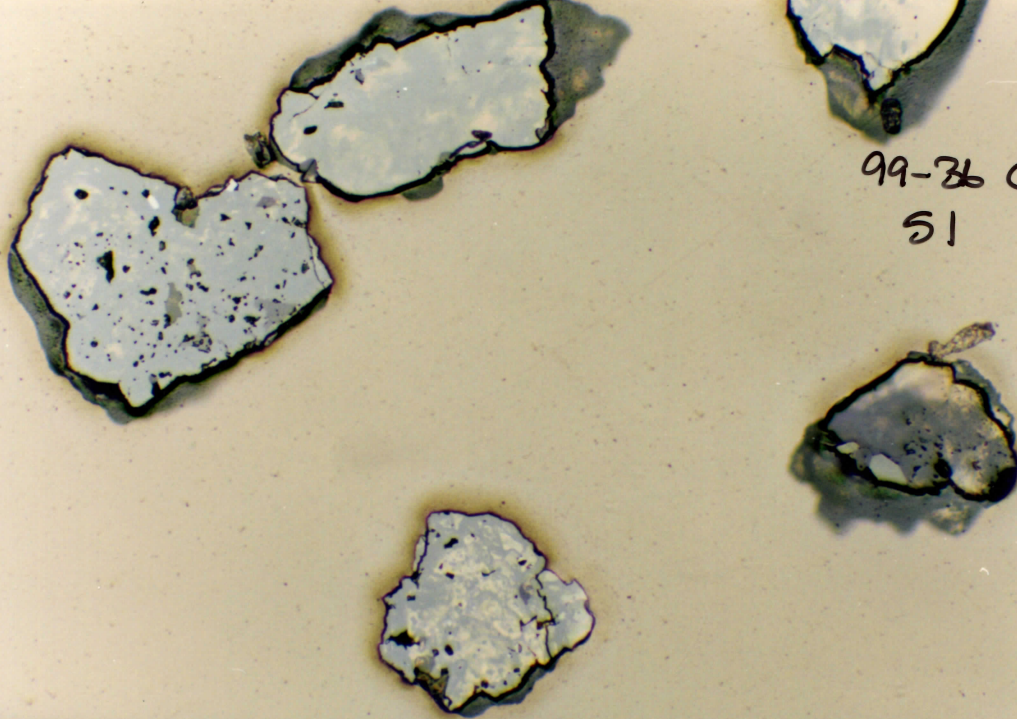


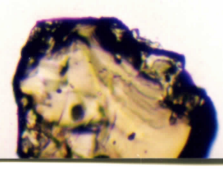
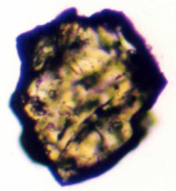
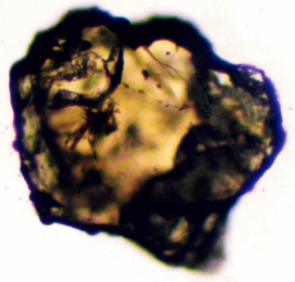
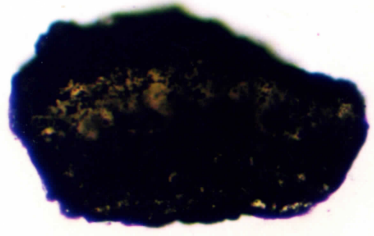
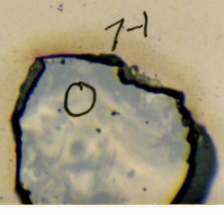
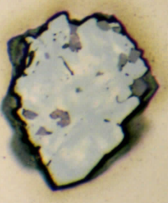
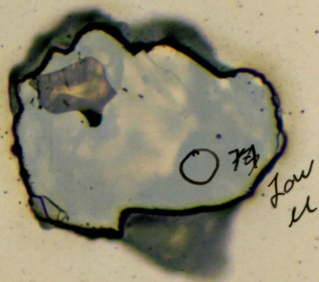
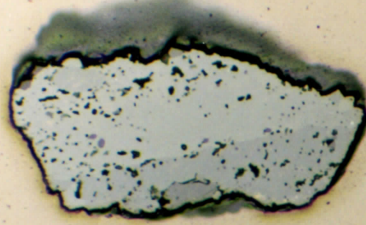
99-86 C
50

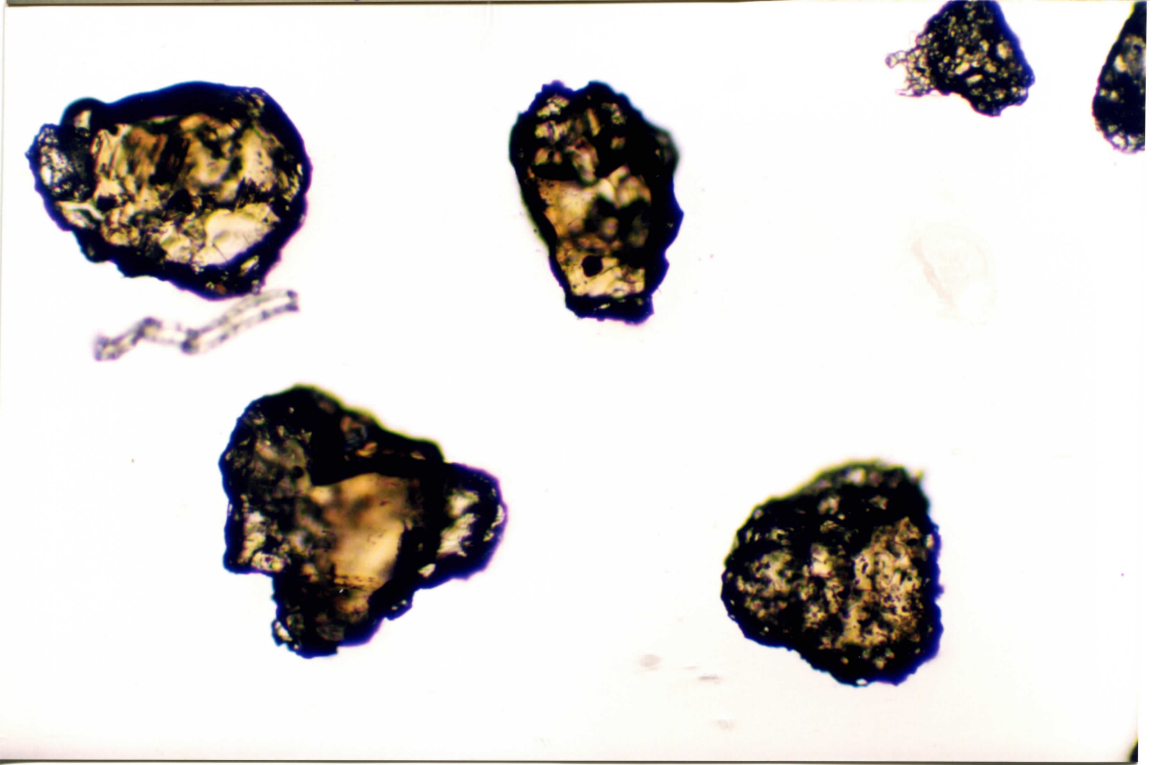
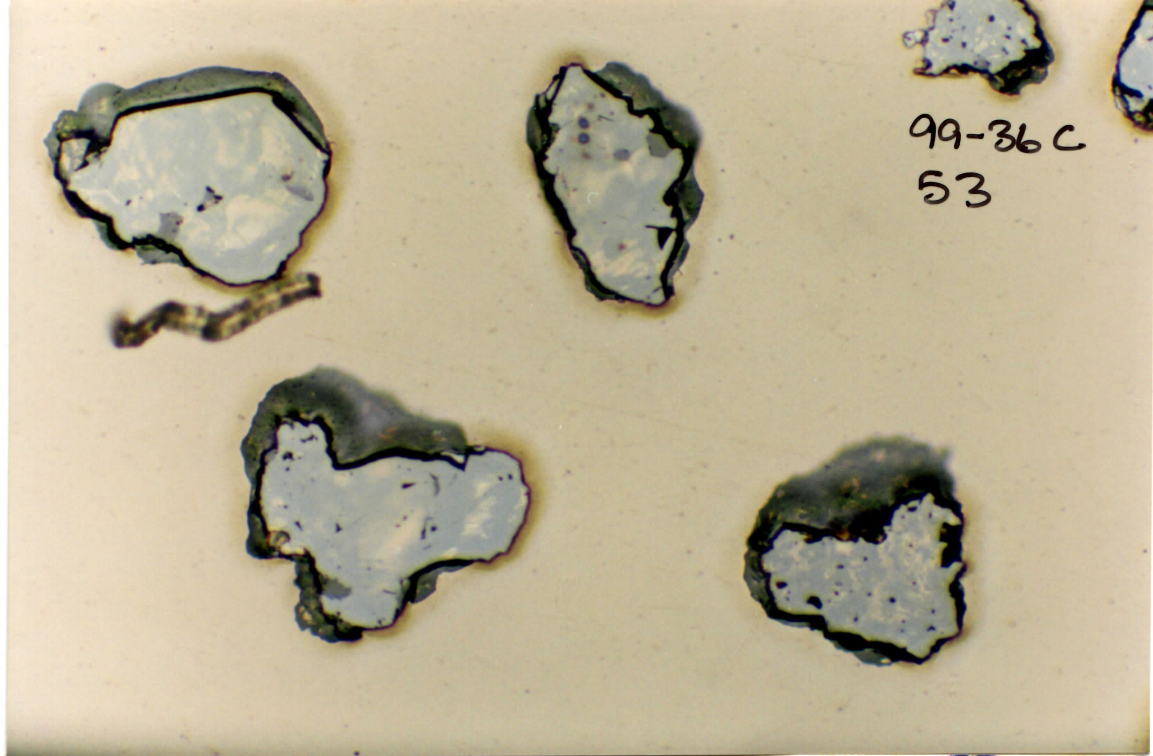


99-76 C
51

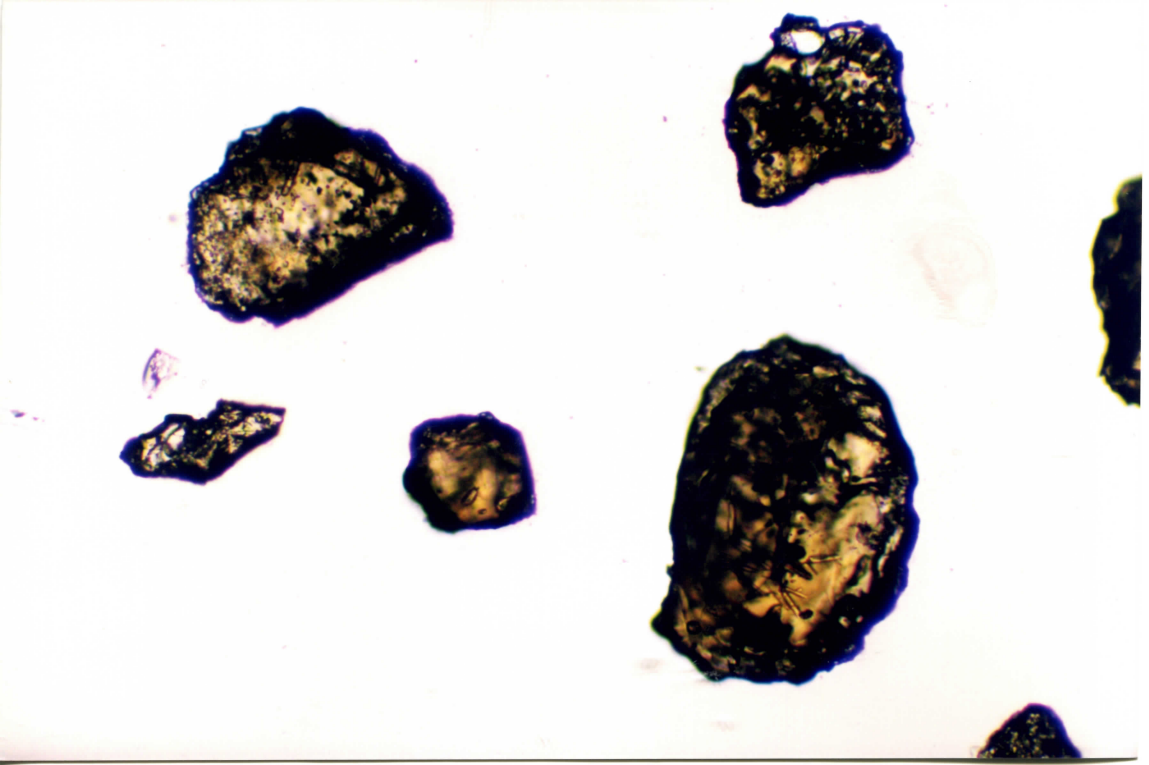
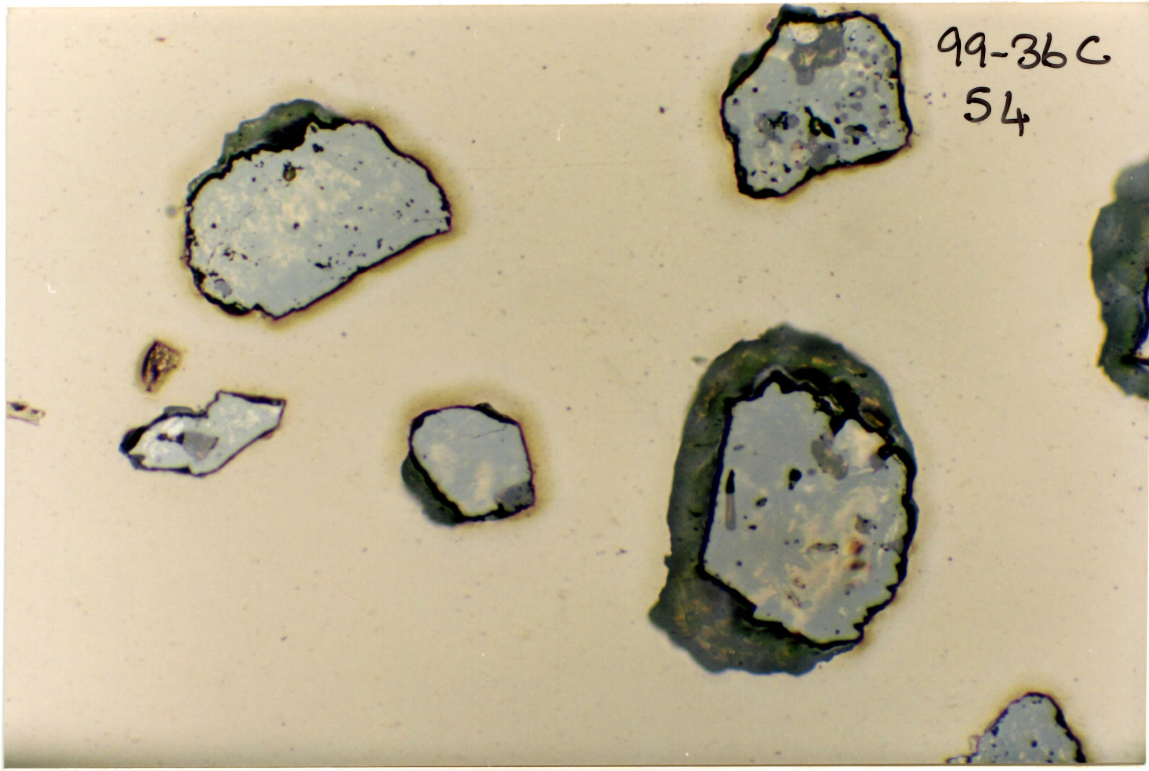


99-36 C
52

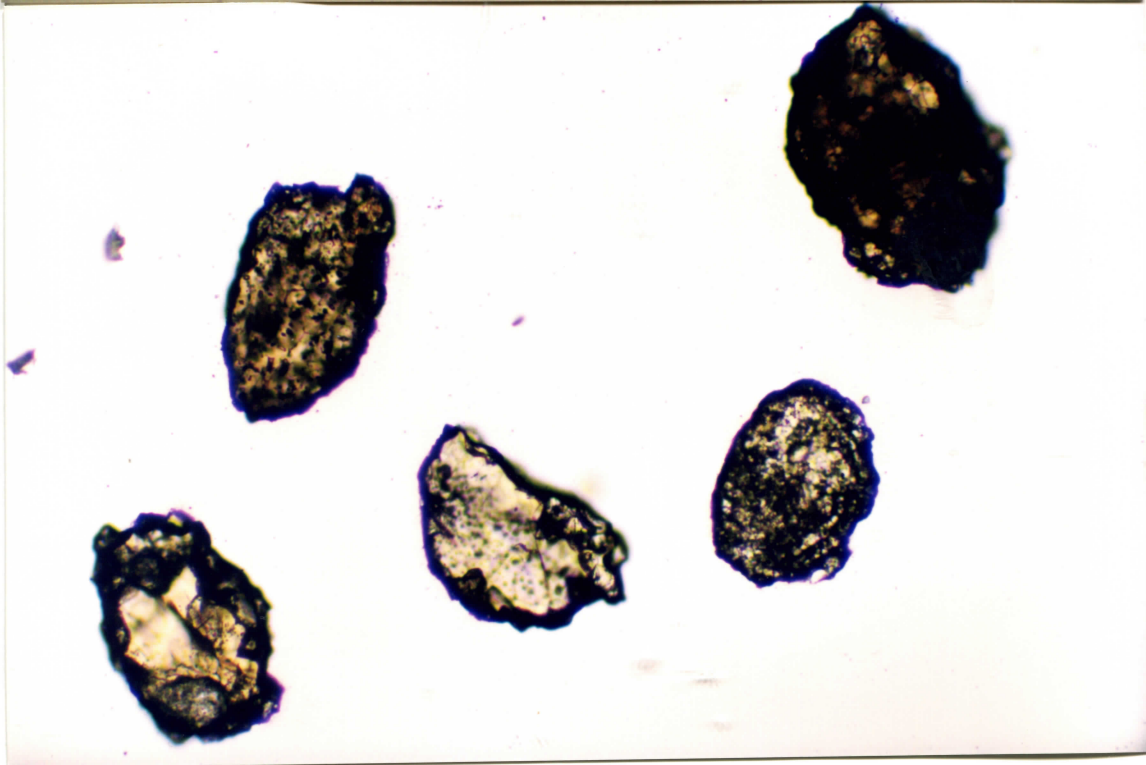
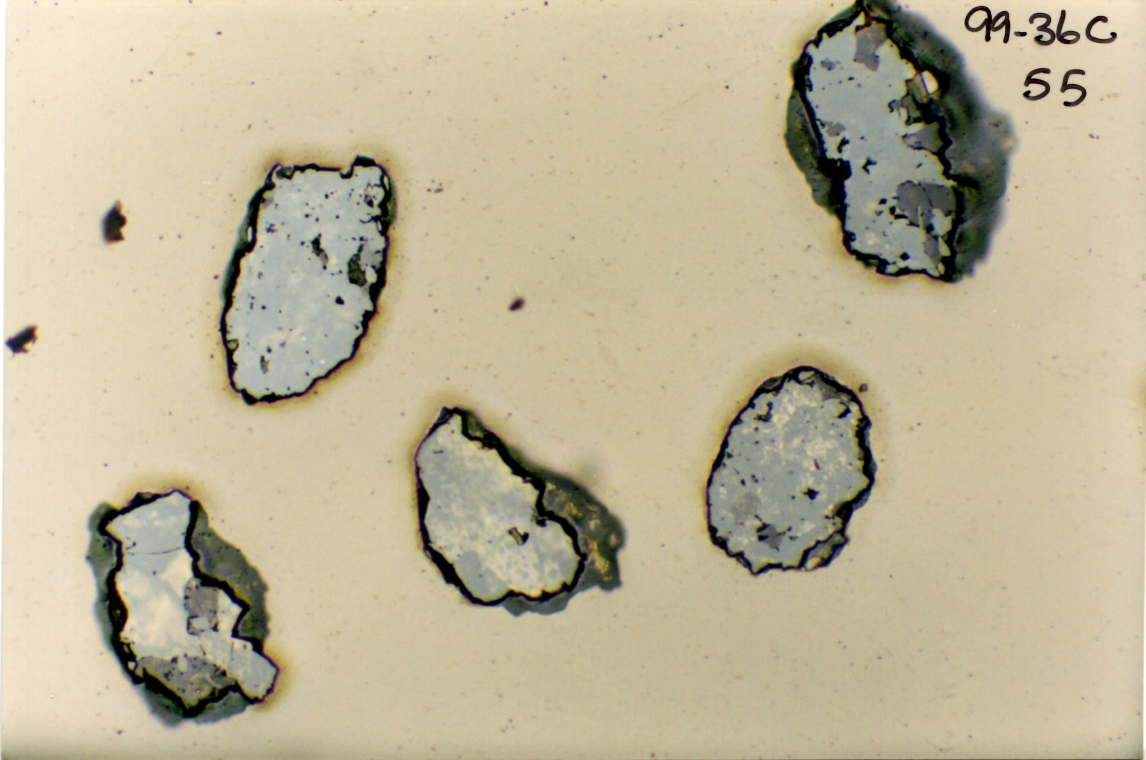


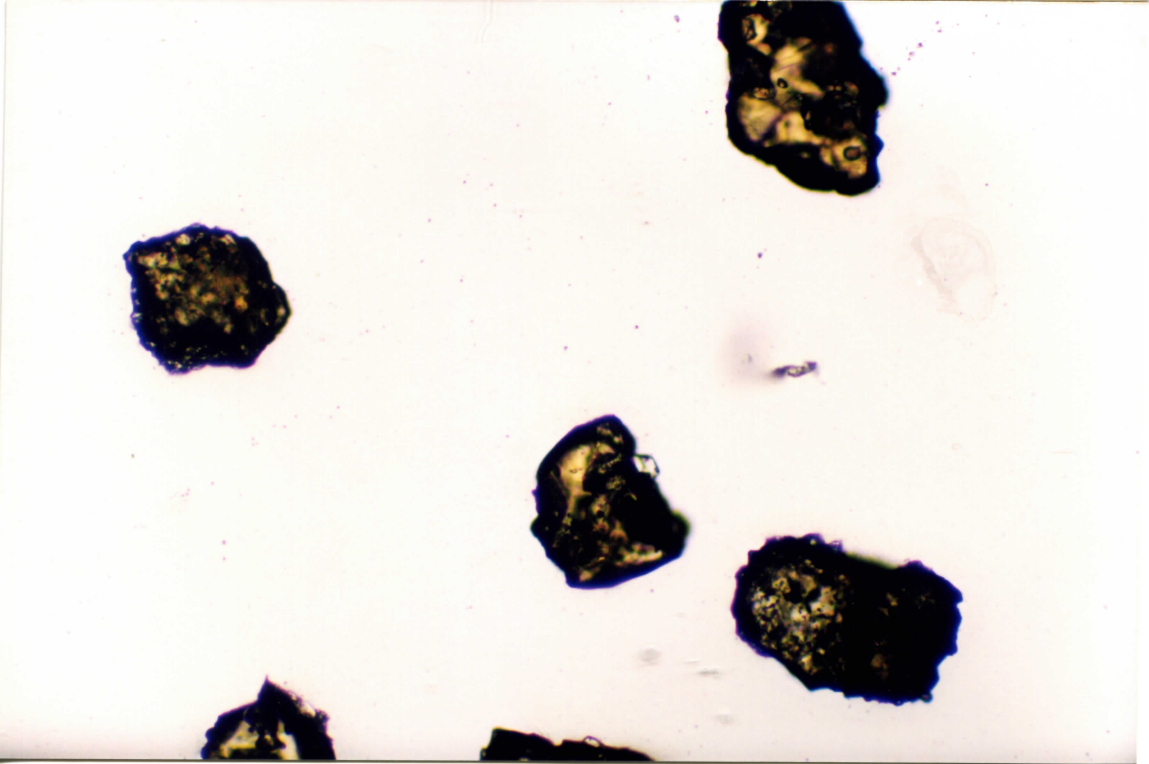
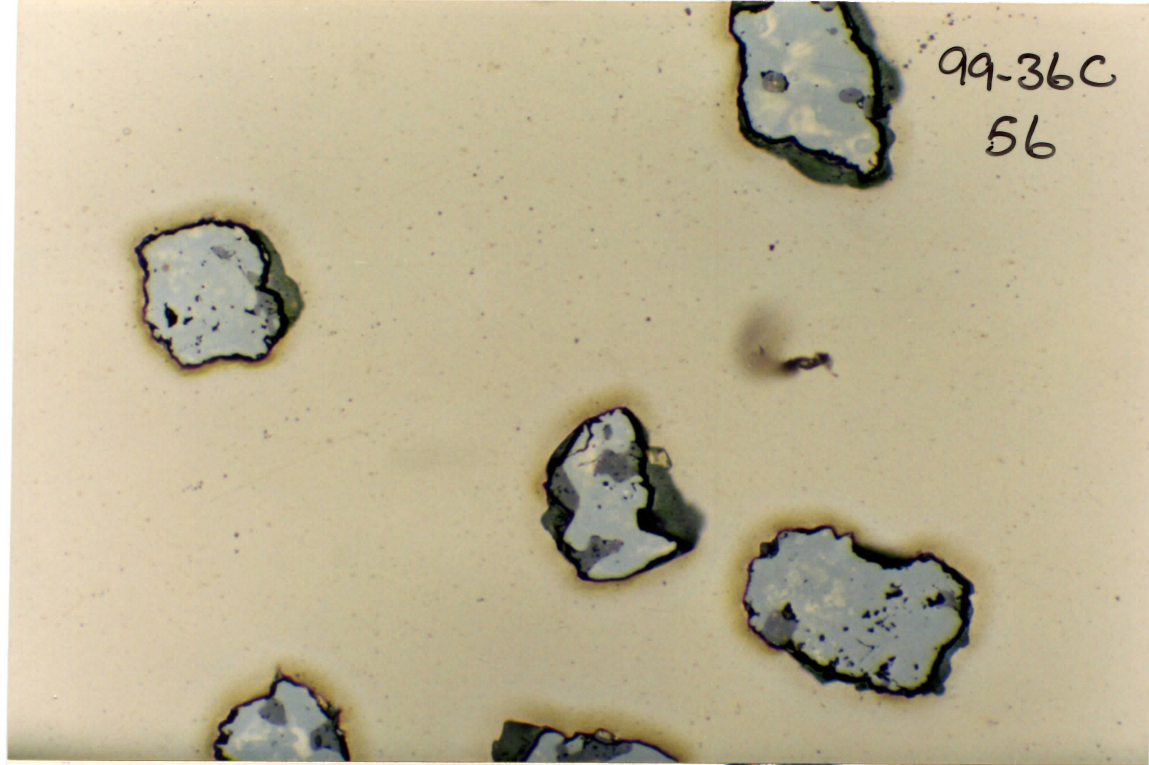


99-36C
54



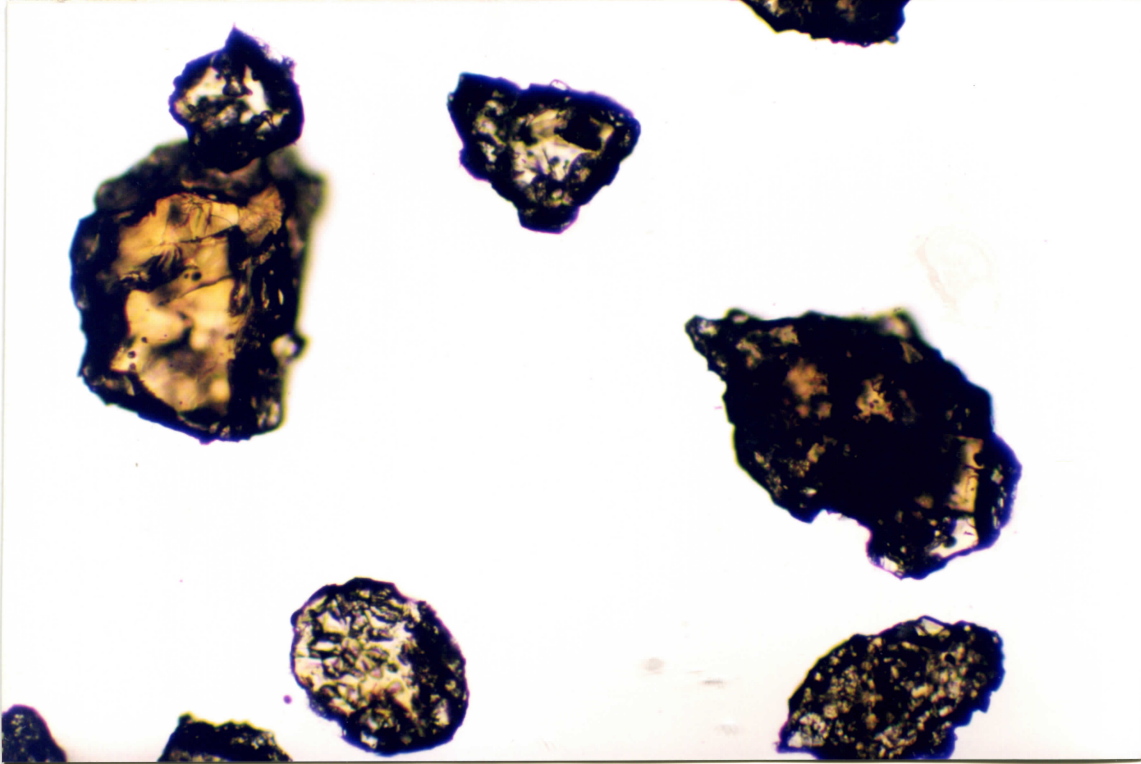
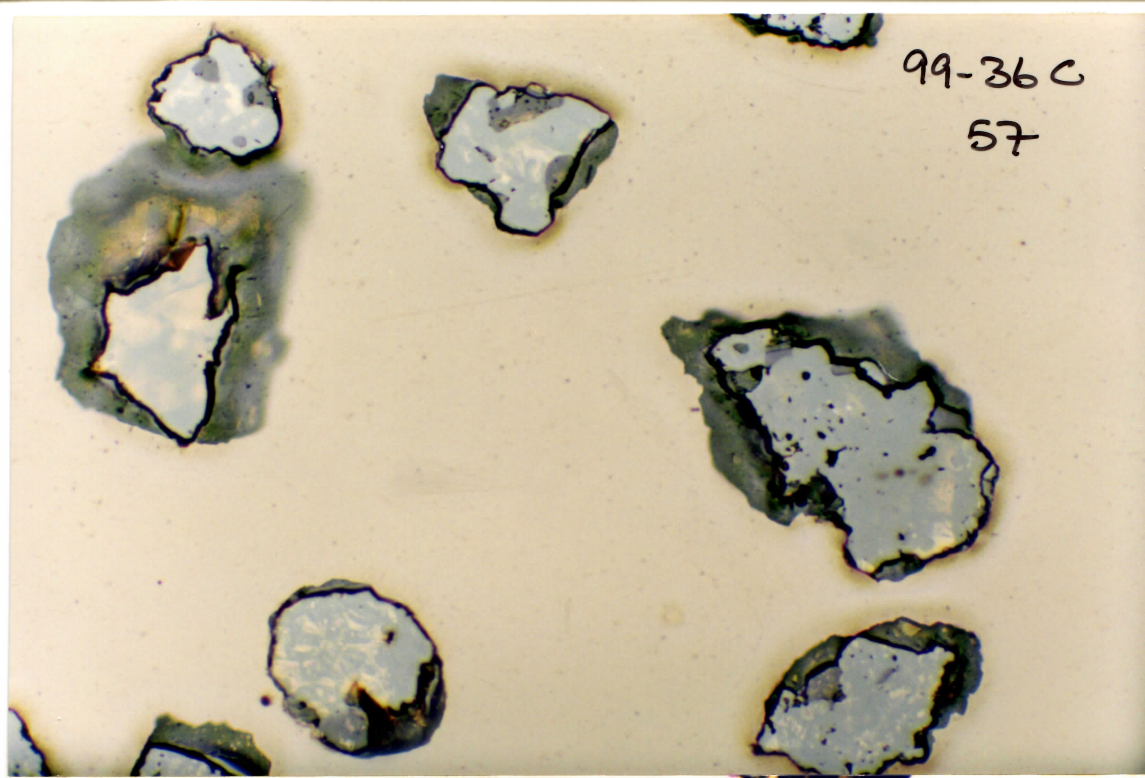
99-36C
55



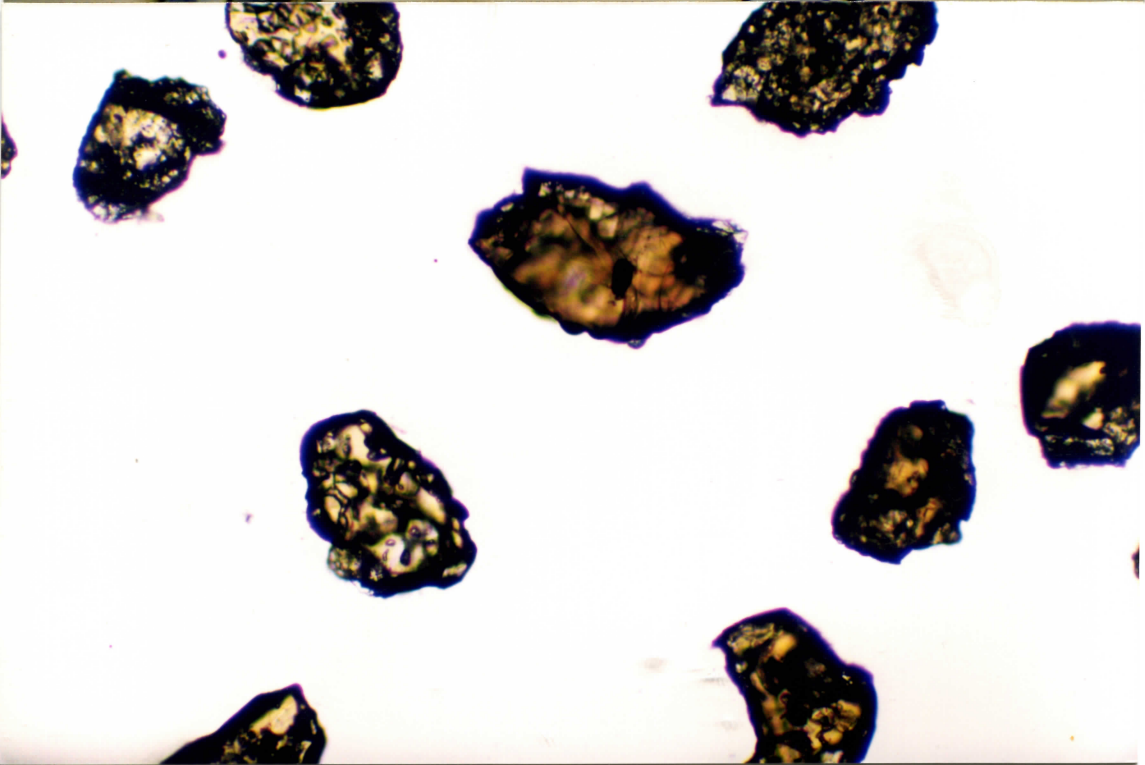
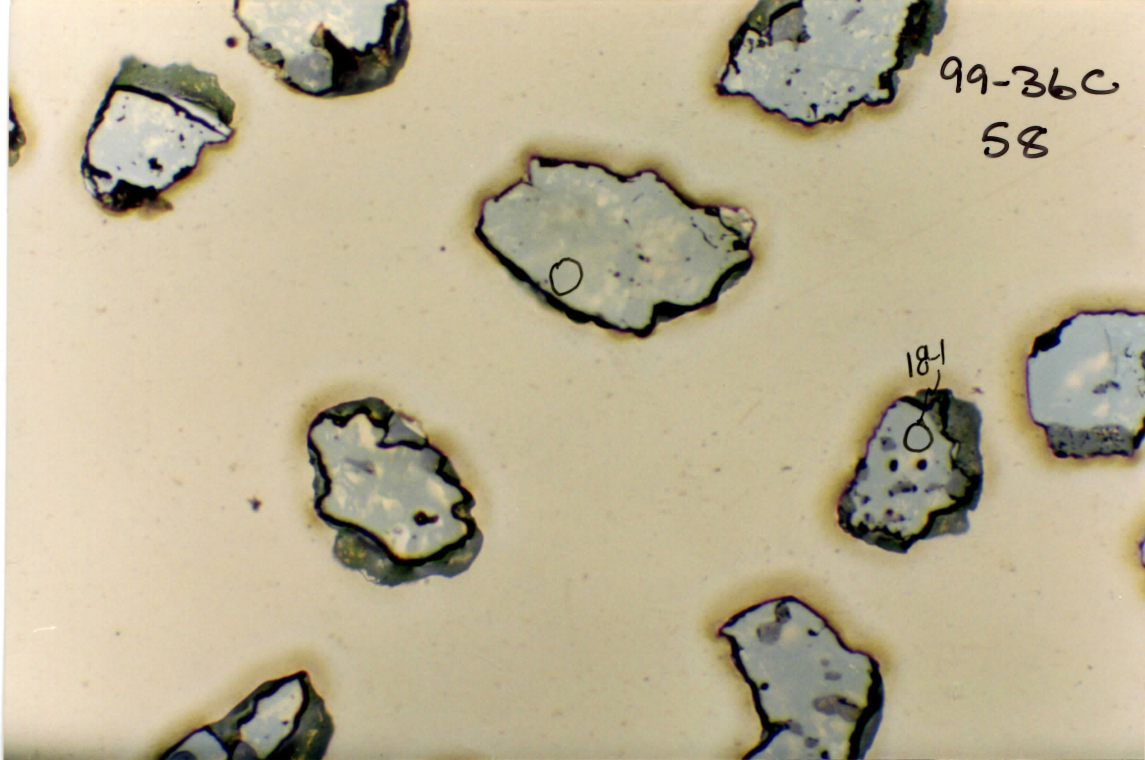


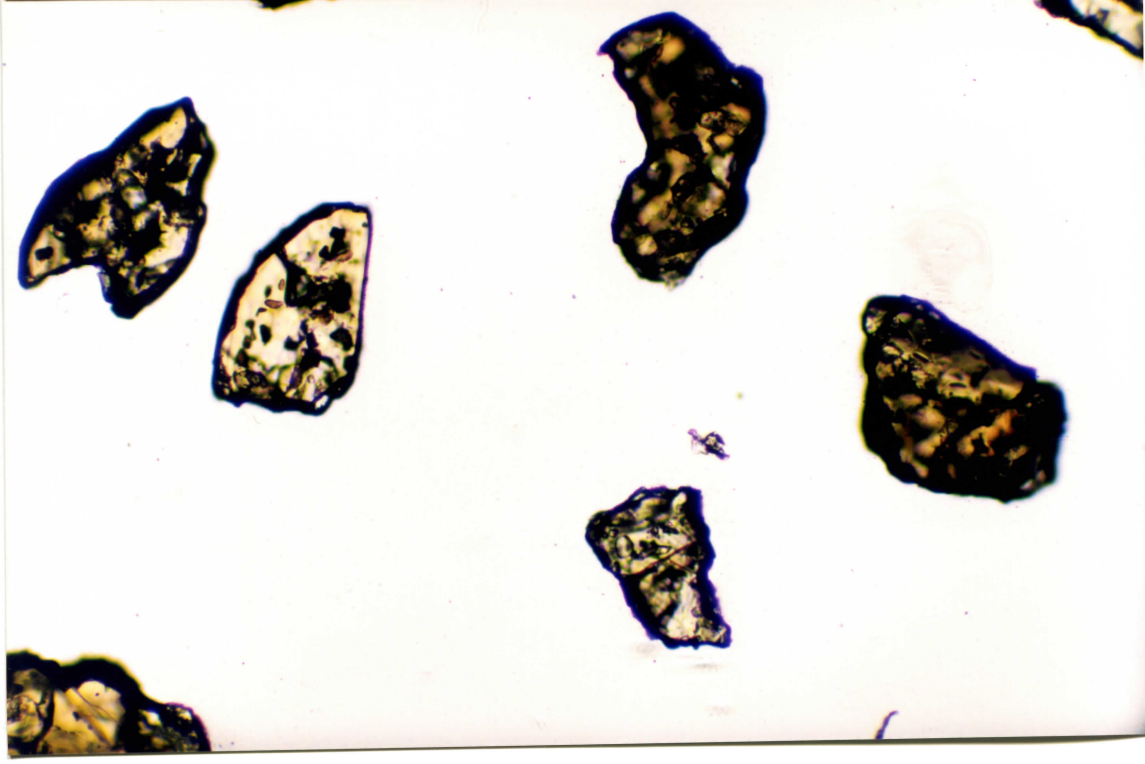
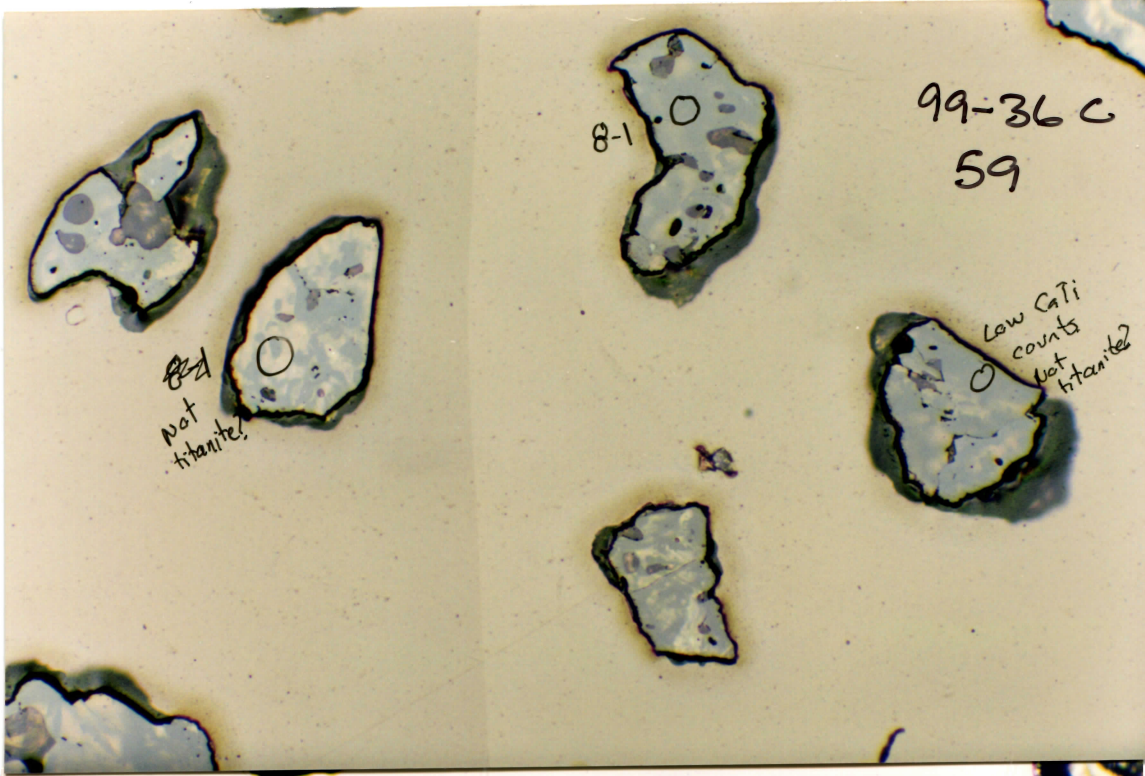
99-36 C

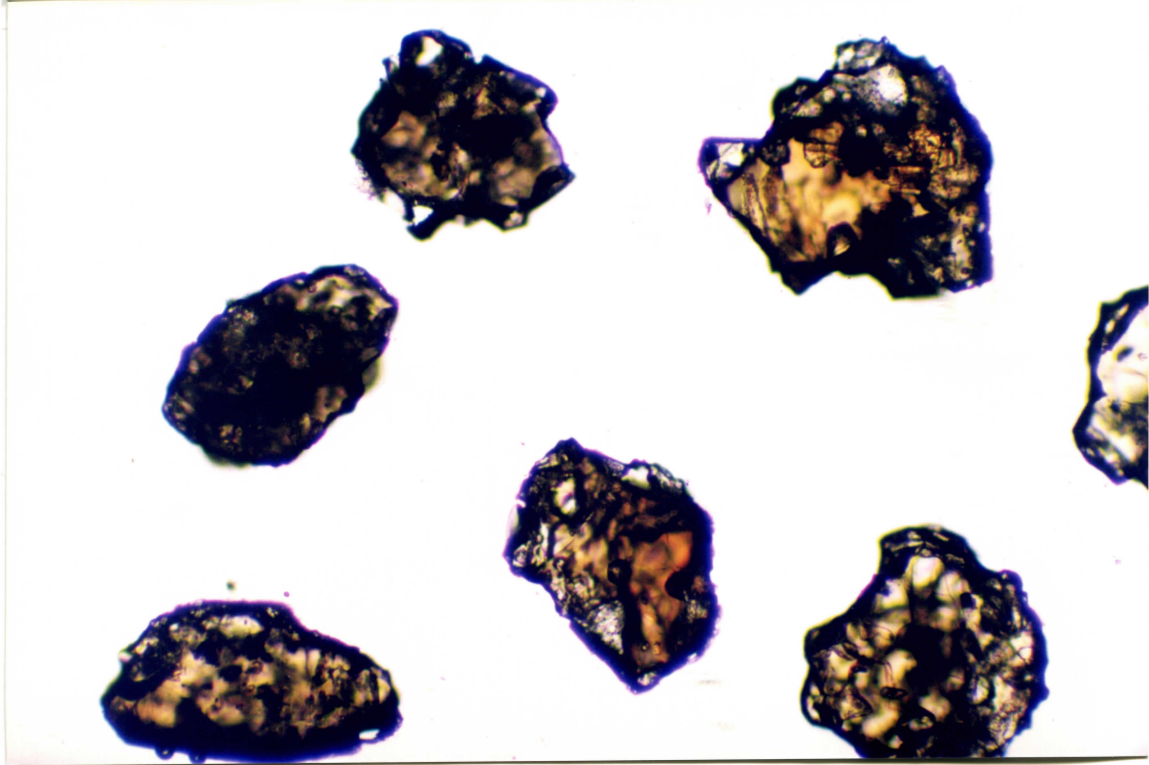
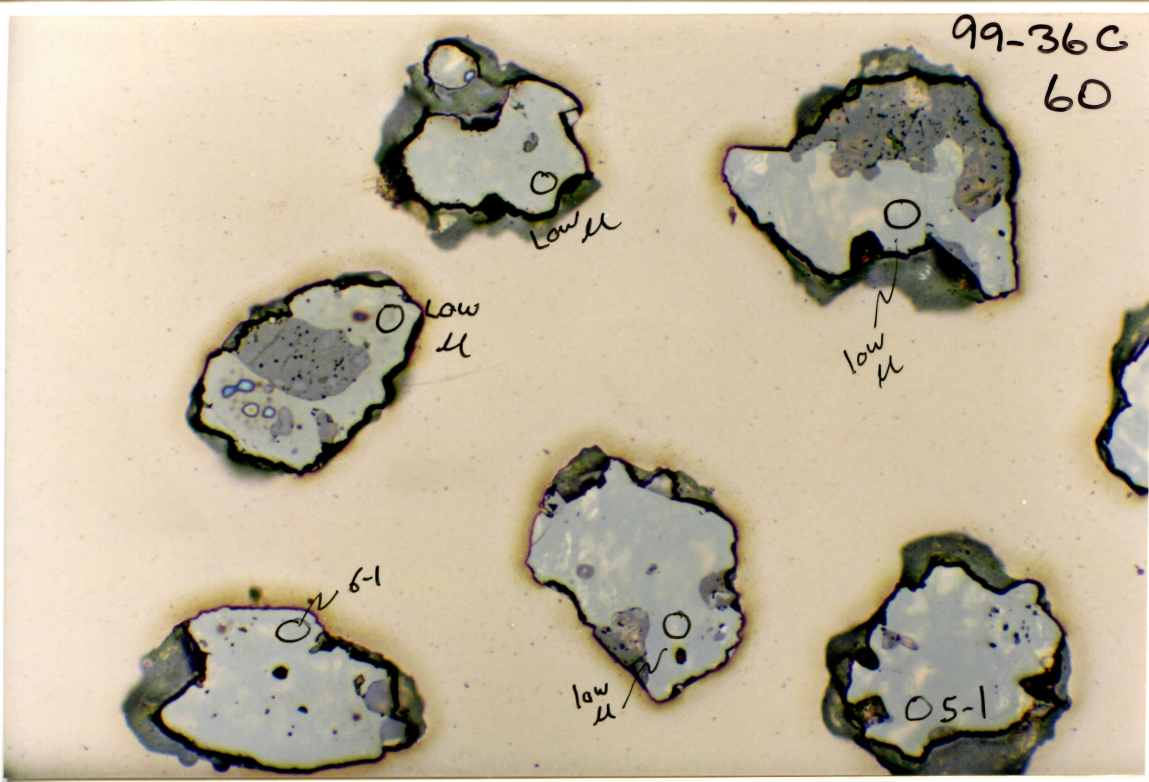
57

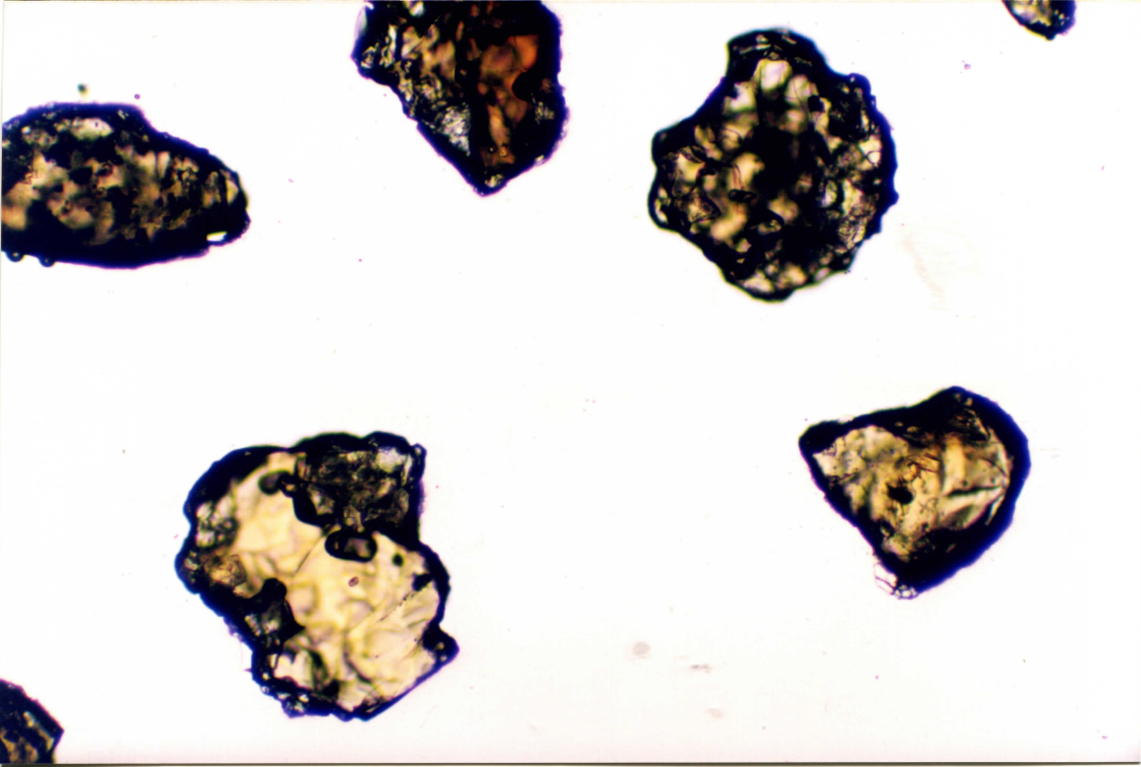
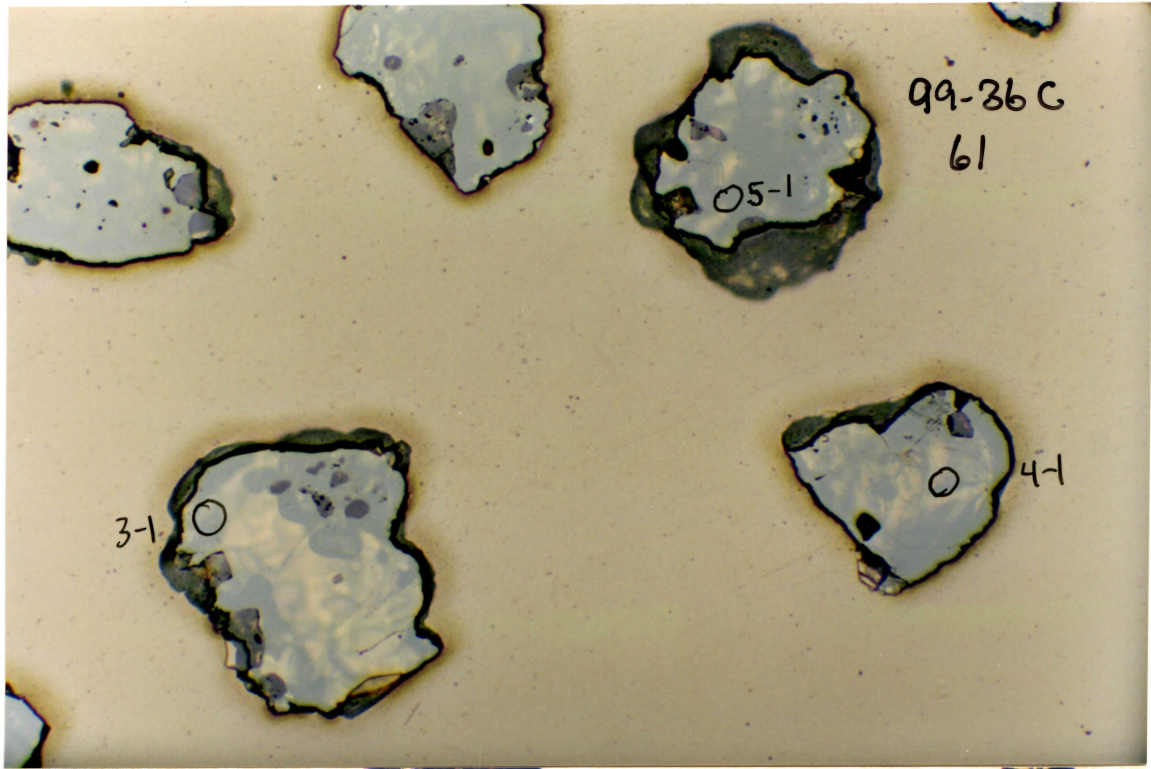


99-36C
58









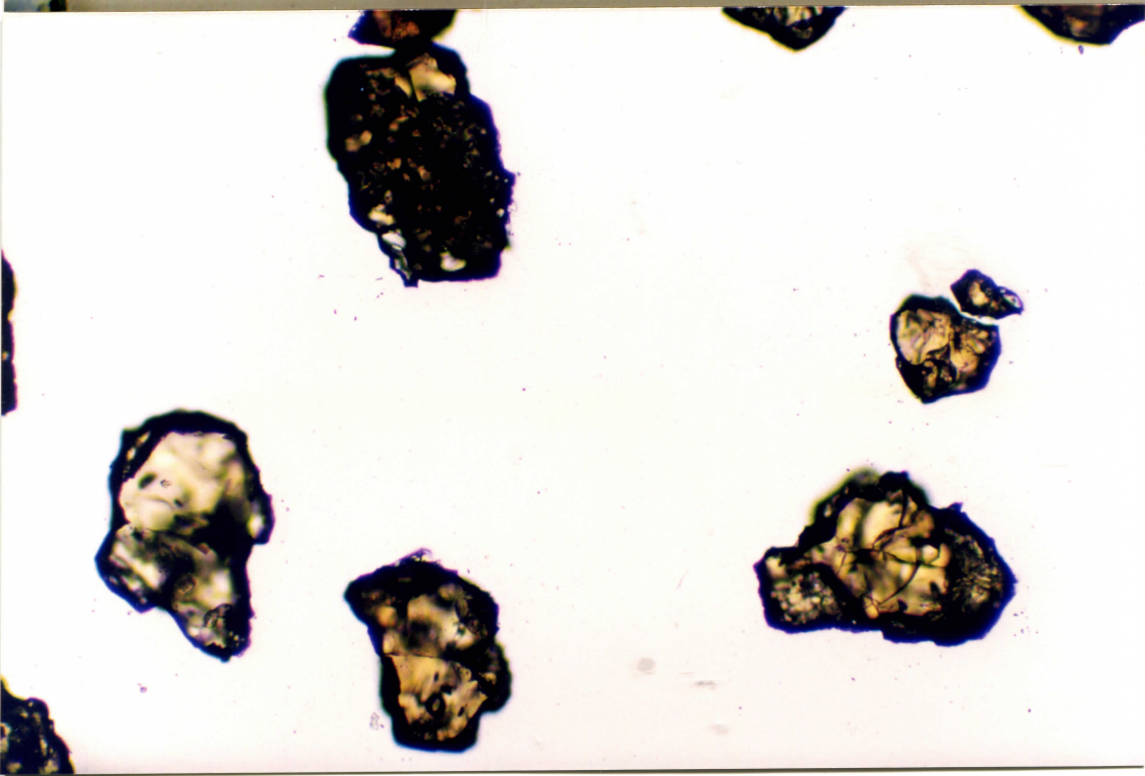
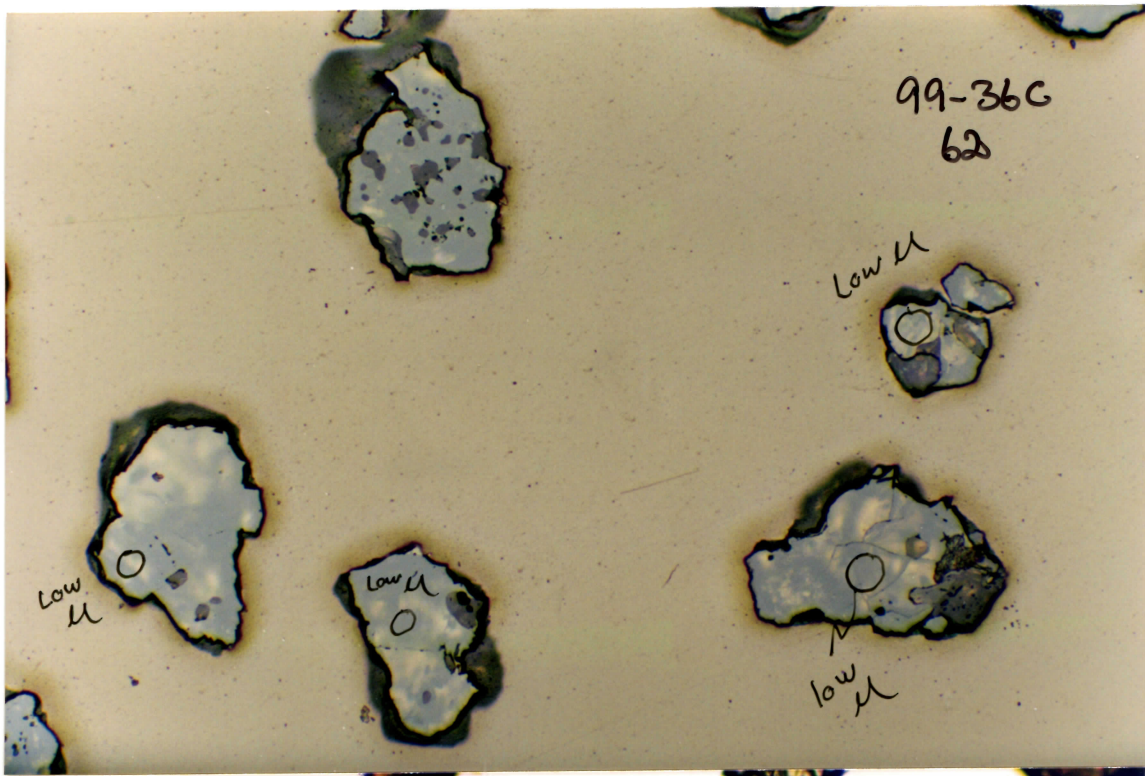
99-36C
62

low μ

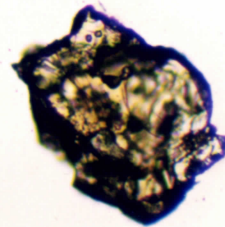
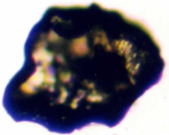
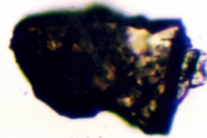
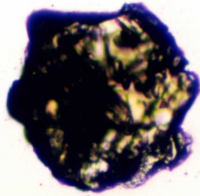
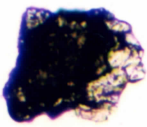
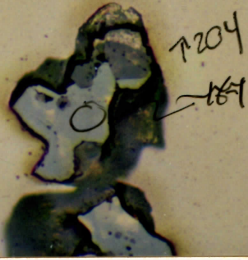
low μ

low μ

low μ

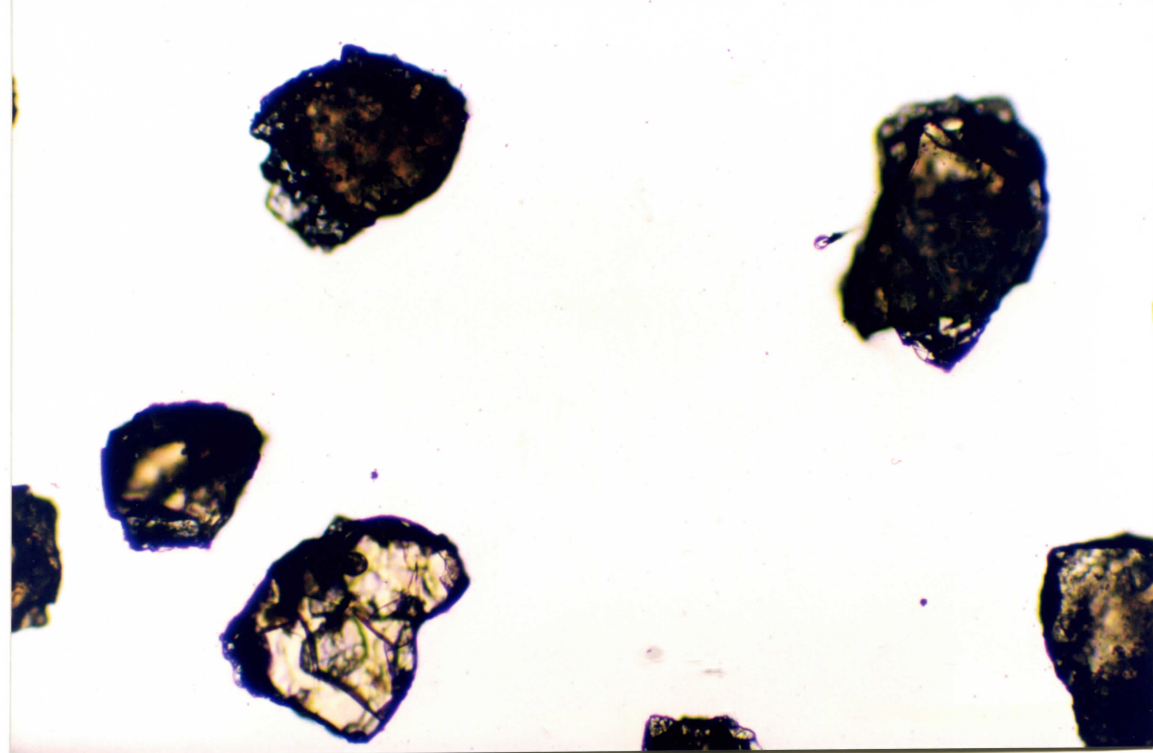
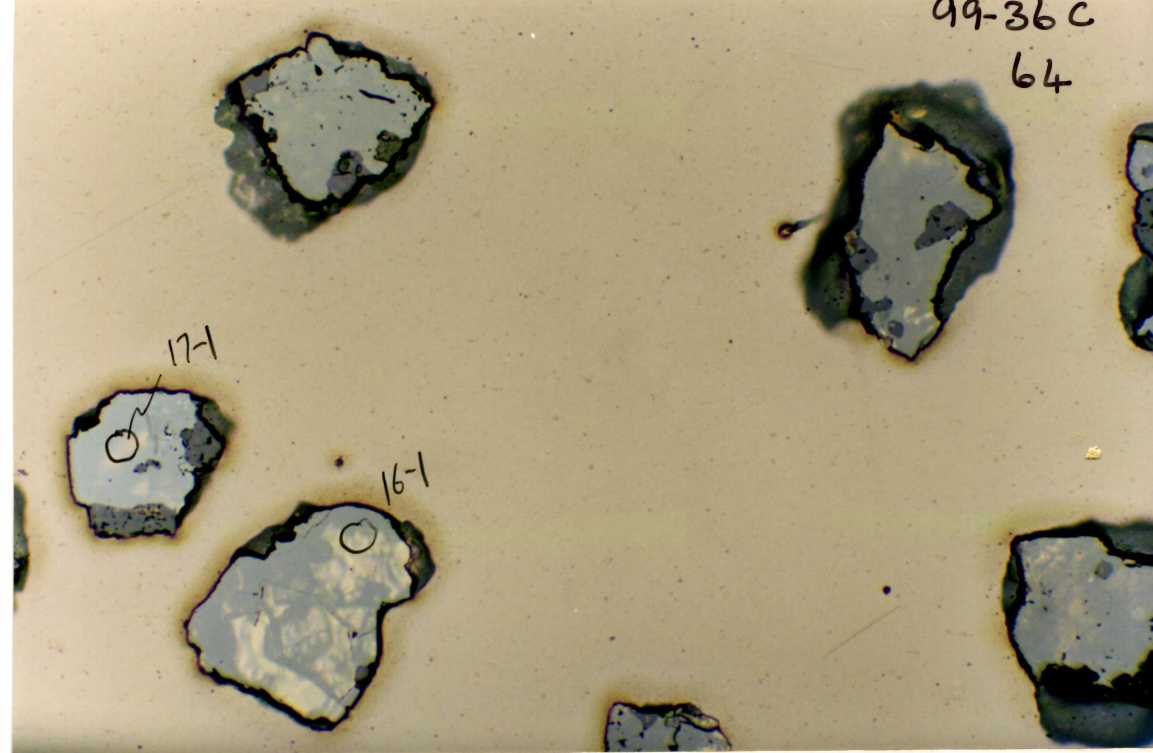


99-36C
63

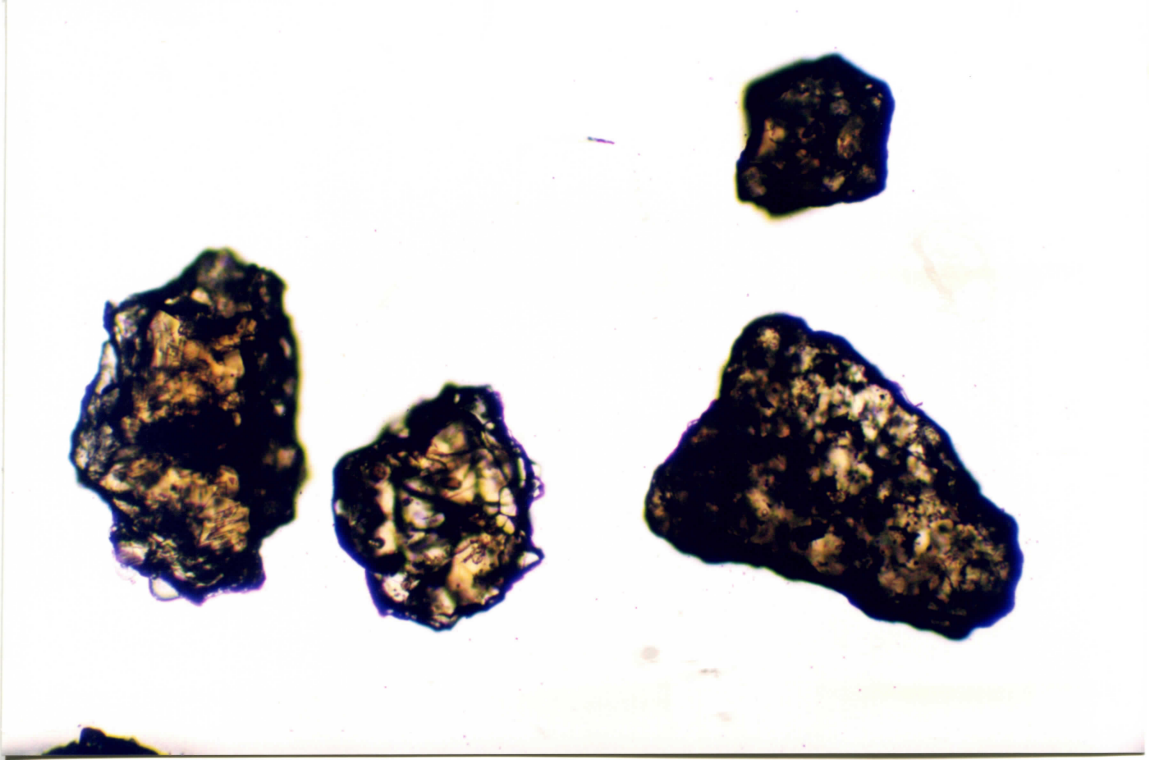
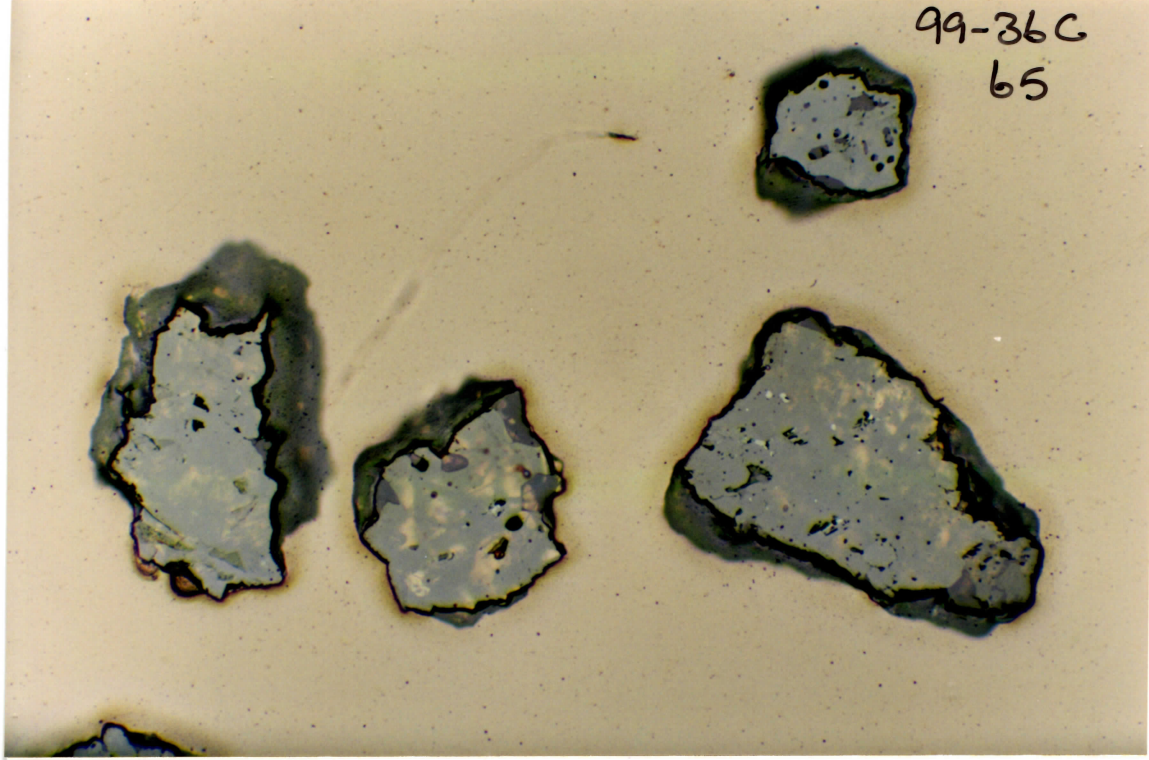


99-36C

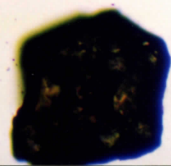
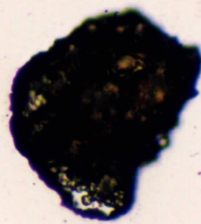
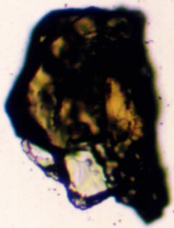
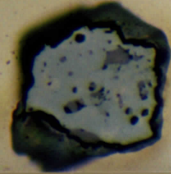
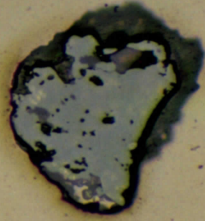
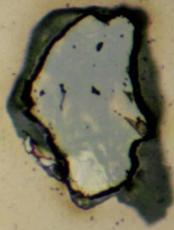
64



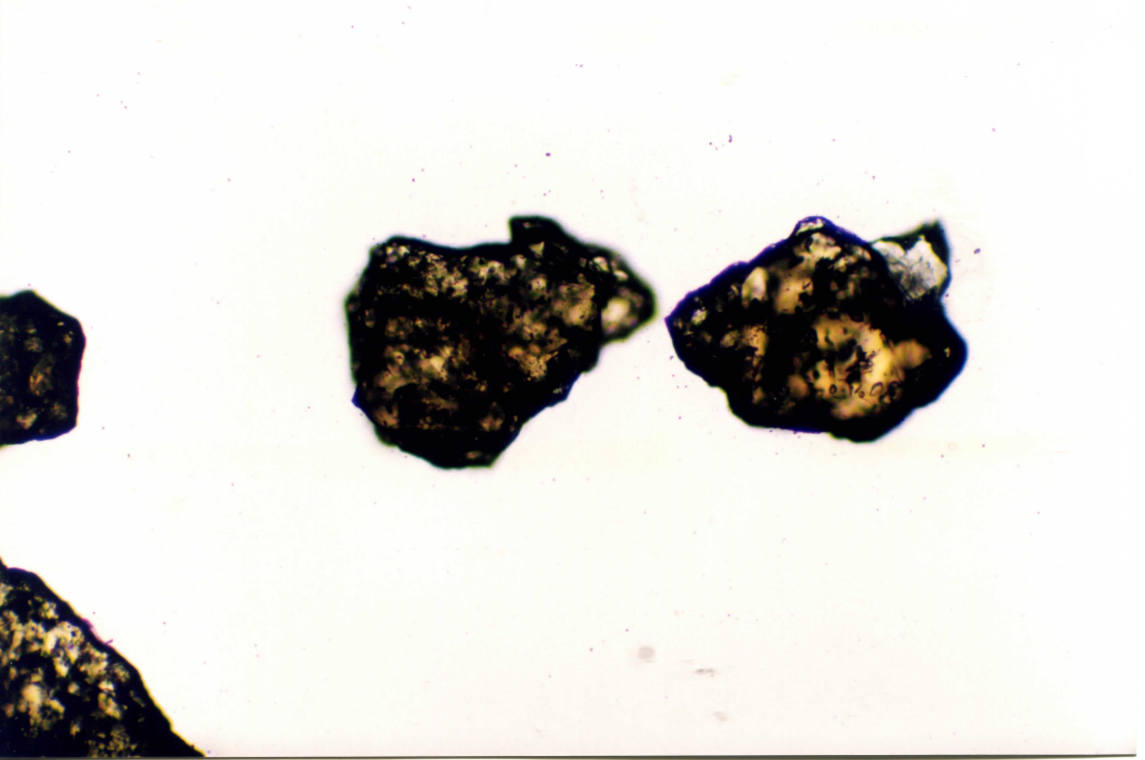
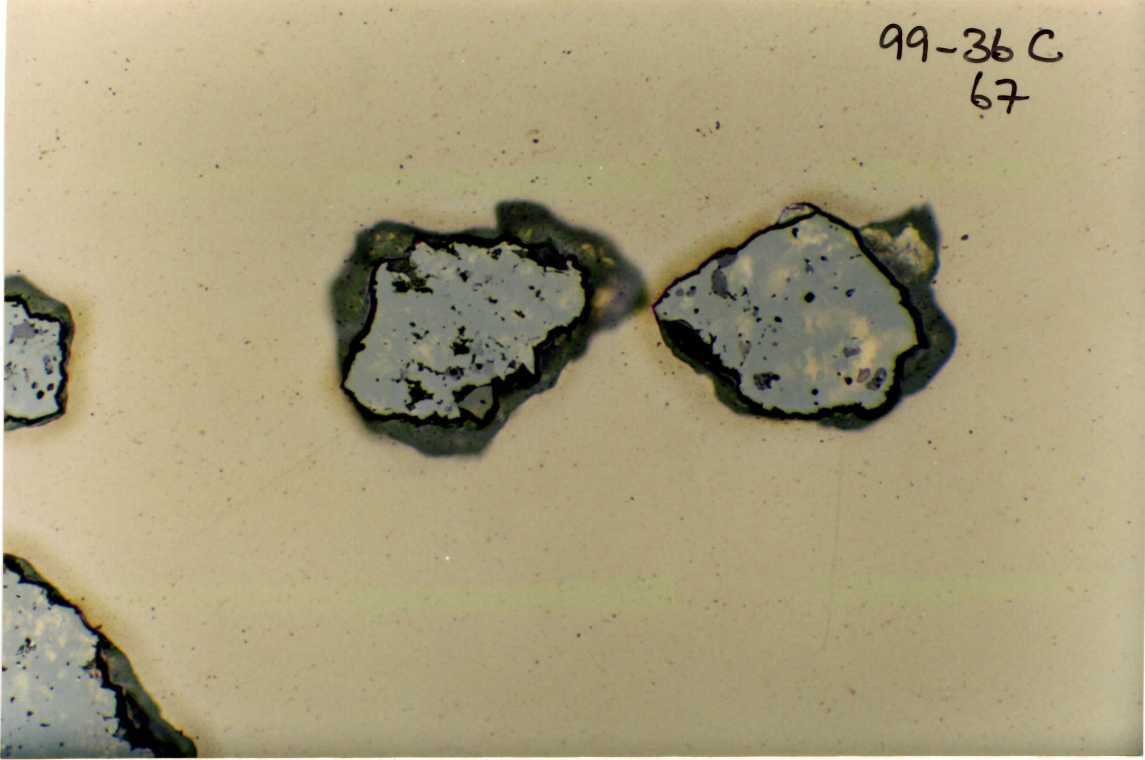
99-36C
65

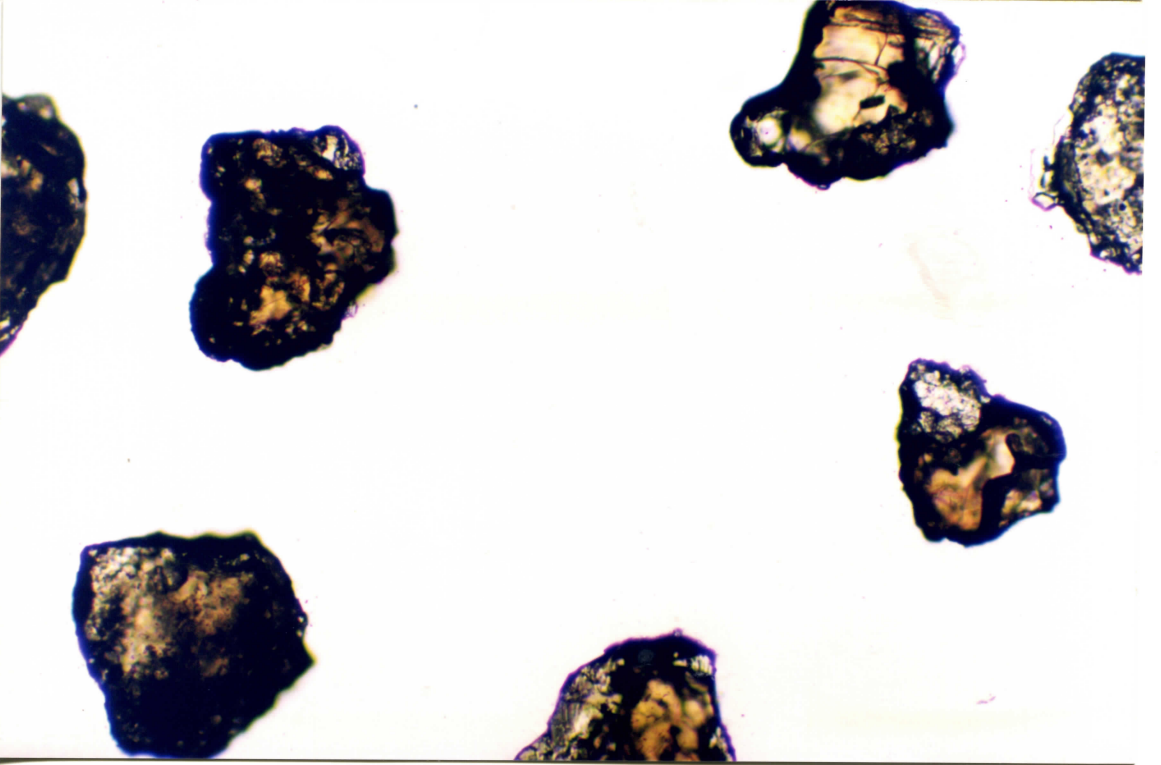
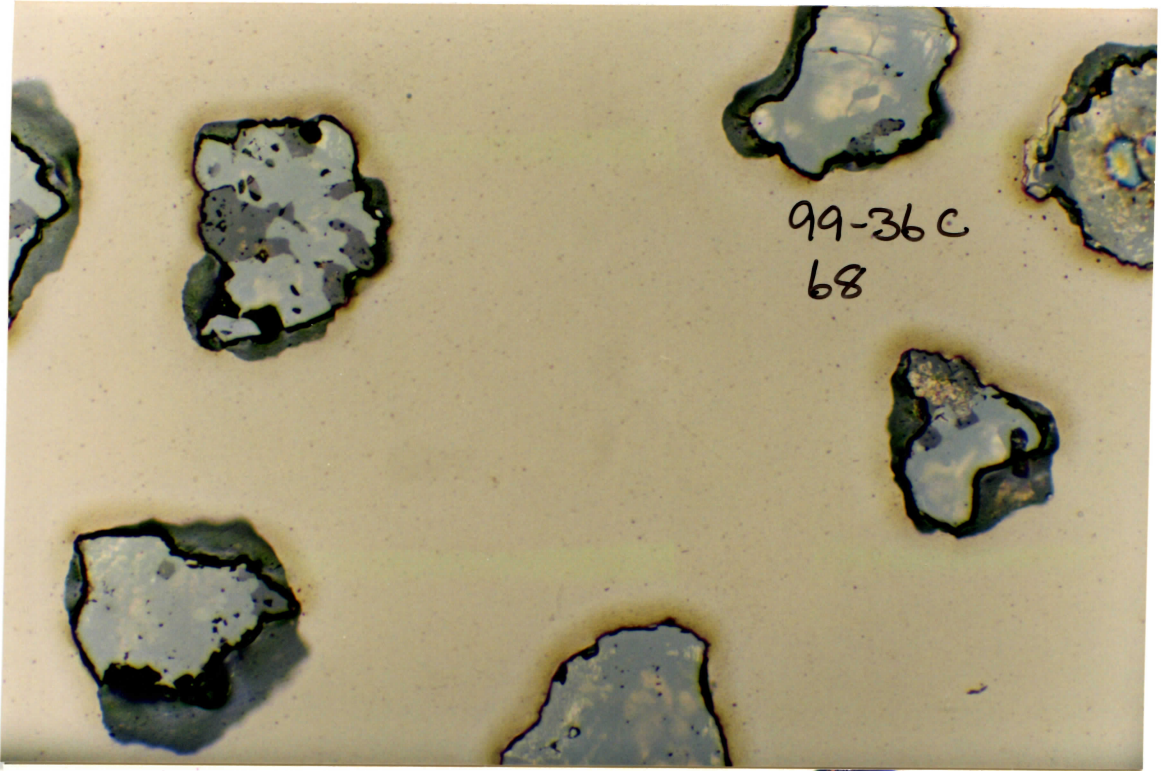


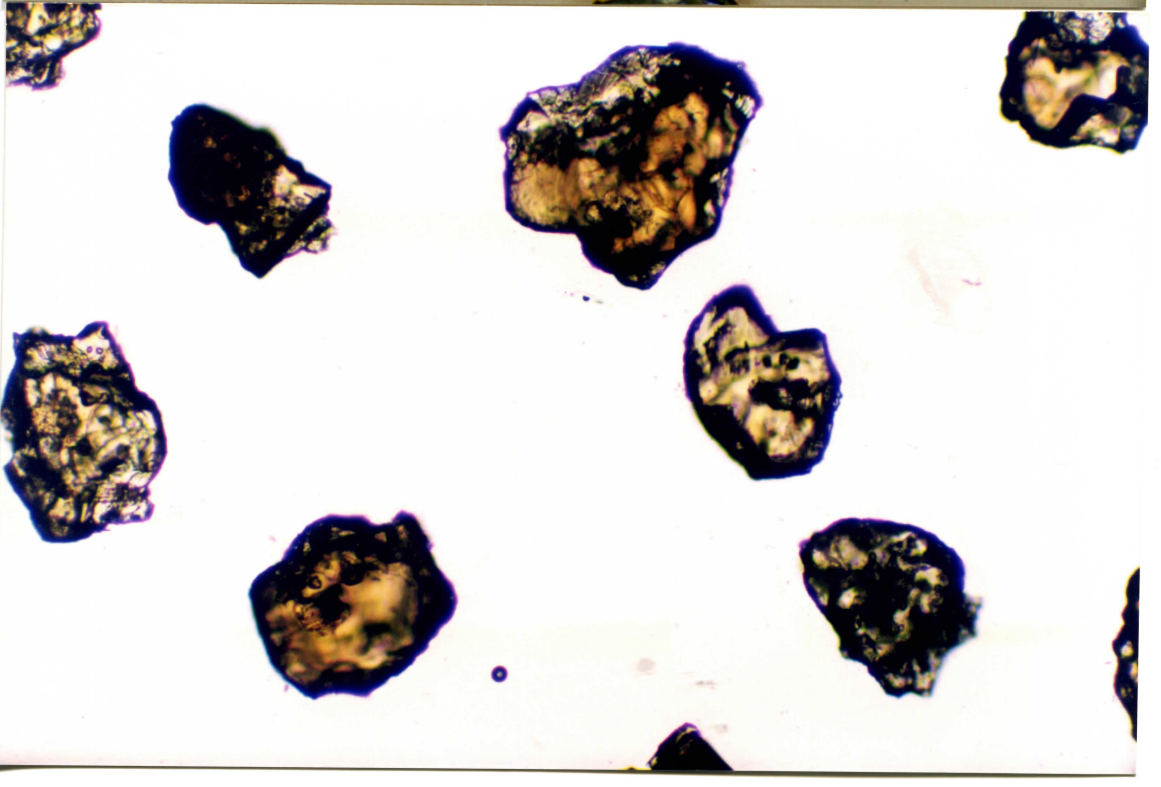
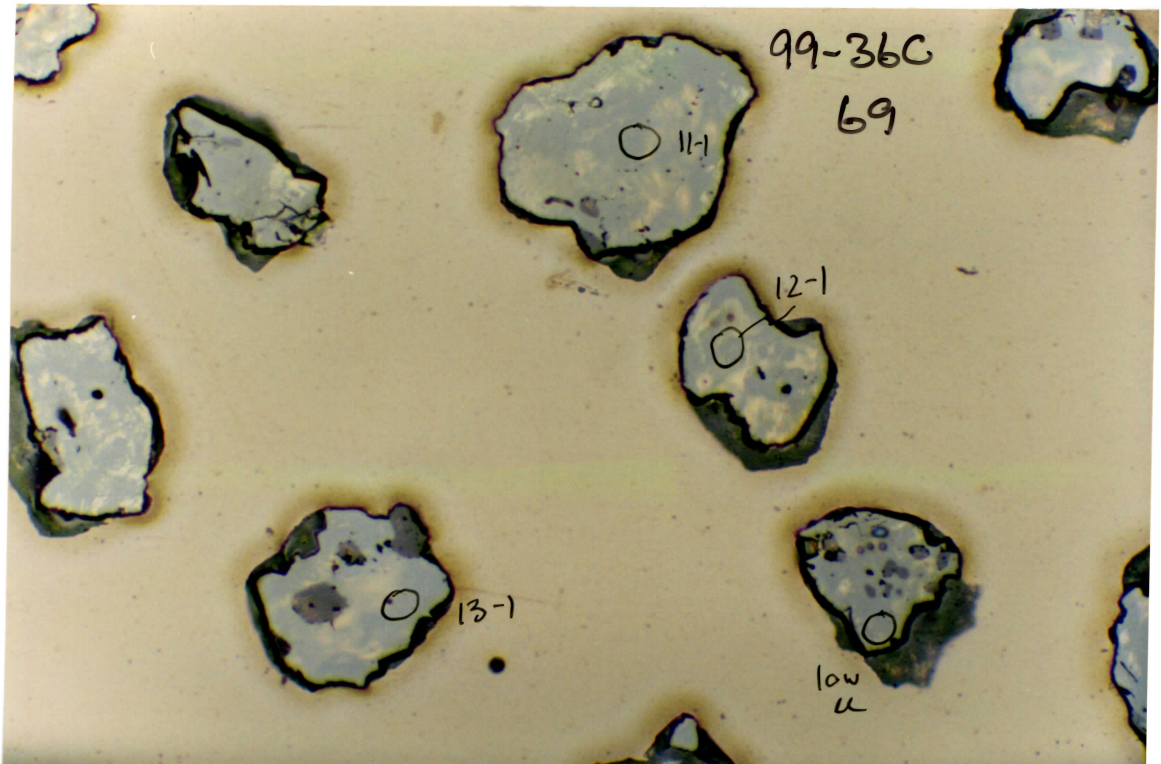
99-36C
66

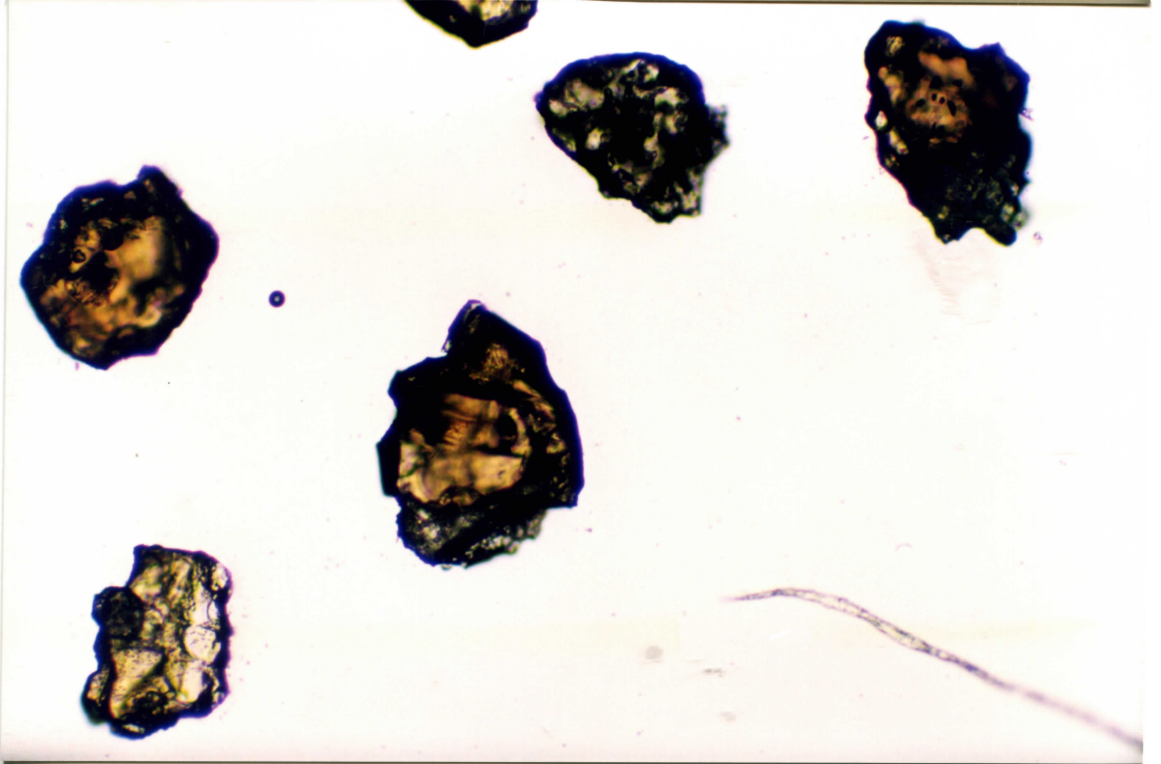
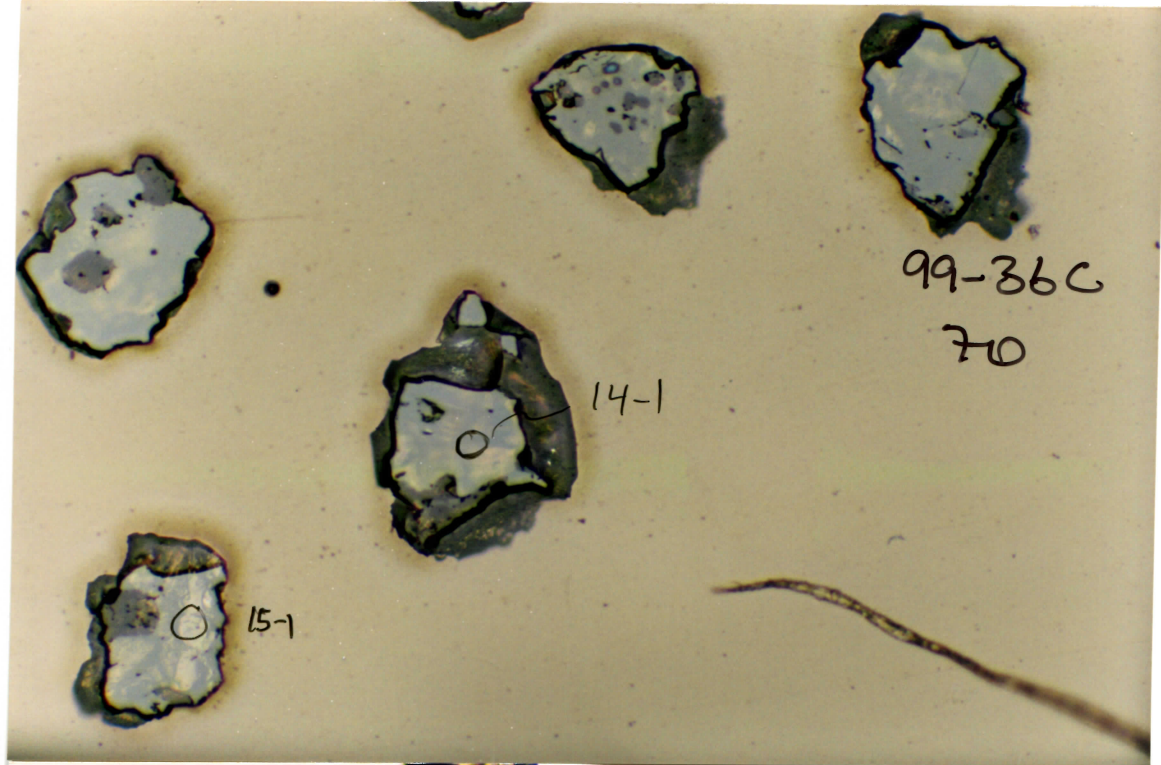


99-36 C
67



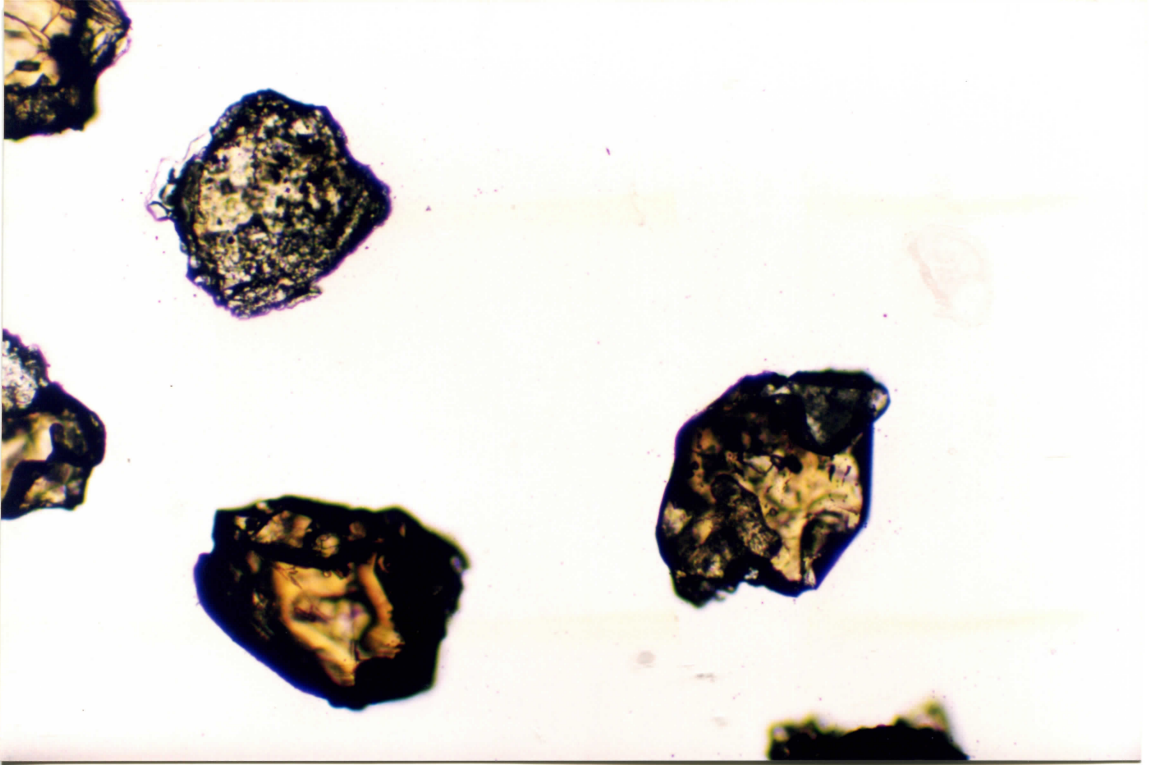
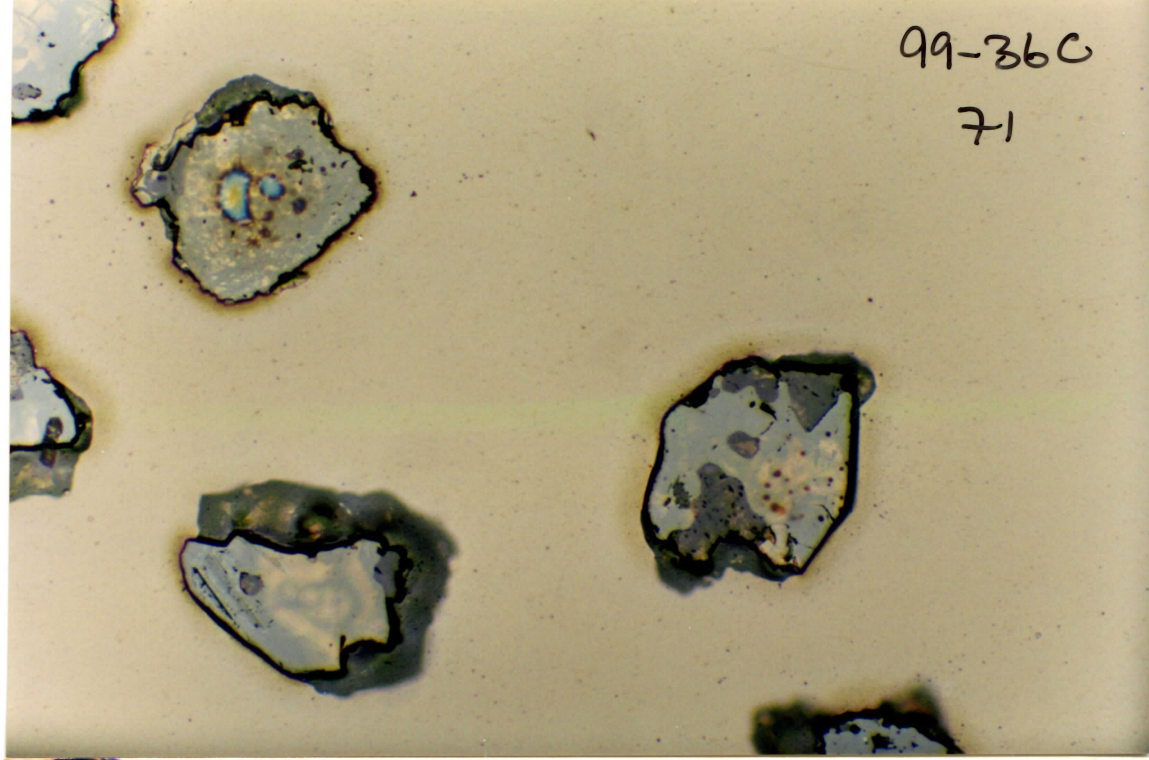






99-36C

71



99-36 C

72

